

Research Article**Investigating the effect of GABA on the biomass and the expression of some genes involved in the astaxanthin biosynthesis pathway of *Haematococcus pluvialis* under different light conditions****Ahmad Ghasemi ***, Gholamreza Abdi, Afshin Jokar

Department of Biotechnology, Persian Gulf Research Institute, Persian Gulf University, Bushehr, Iran

Key WordsGABA
Melatonin
Astaxanthin
Fatty acids
Haematococcus pluvialis
Different light conditions
Gene expression**Abstract**

Introduction: Green microalgae contain a wide array of valuable metabolites that can potentially attract numerous biomanufacturing businesses. Among these microalgae, *Haematococcus pluvialis*, a unicellular freshwater microalga belonging to the Chlorophyceae class, is prevalent in numerous aquatic environments worldwide. It has gained recognition as the most abundant and auspicious reservoir for the industrial-scale synthesis of natural astaxanthin. The effects of γ -aminobutyric acid (GABA) (0 and 0.0001 g/L) on *Haematococcus pluvialis* different light condition were investigated in order to find the best inducer and suitable light type (white, blue, and red light) for maximizing the photosynthesis efficiency and low-cost production.

Materials & methods: Microalgal cells, after growth phase, were subjected to the different treatments and cell growth rate, chlorophyll, carotenoids, total astaxanthin content, and the expression of some involved genes in astaxanthin biosynthesis pathways (*psy*, *lcy*, *bkt2*) were measured.

Results: The results showed that the blue light increased cell division and growth efficiency (2.64-fold) and red light increased biosynthesis and accumulation of astaxanthin (94.4 mg/g). Additionally, using GABA enhanced the cell growth and astaxanthin production. GABA under red light resulted to a significantly higher accumulation of astaxanthin compared to white and blue light, although it had a lower cell growth rate and division. Gene expression results also indicated that GABA significantly induces *psy* and *pds* genes under blue and red light.

Conclusion: Collectively, our findings offer a coordinated approach to enhance the coproduction of astaxanthin by using the combination of red illuminate and GABA which influences on cell proliferation and astaxanthin synthesis in *H. pluvialis*.

Article info* Corresponding Author's email:
aqasemi@gmail.com

Received: 30 August 2024

Reviewed: 4 October 2024

Revised: 6 December 2024

Accepted: 6 January 2025

مقاله علمی - پژوهشی

بررسی تأثیر گابا بر زیست‌توده و بیان برخی ژن‌های دخیل در مسیر بیوسنتز آستاگزانتین هماتوکوکوس پلوویالیسی (*Haematococcus pluvialis*) تحت شرایط مختلف نوری

احمد قاسمی*، غلامرضا عبدی، افشین جوکار

گروه زیست‌فناوری، پژوهشکده خلیج فارس، دانشگاه خلیج فارس، بوشهر، ایران

کلمات کلیدی

چکیده

گابا

ملاتونین

آستاگزانتین

اسیدهای چرب

هماتوکوکوس پلوویالیسی

شرایط مختلف نوری

بیان ژن

مقدمه: هماتوکوکوس پلوویالیسی، یک ریزجلبک سبز است که به دلیل توانایی آن در تولید مقادیر زیادی آستاگزانتین مورد علاقه صنعت است. از این ریزجلبک به‌عنوان یک سیستم تولید زیستی، برای تولید آستاگزانتین استفاده می‌شود. این پژوهش باهدف افزایش تولید آستاگزانتین در هماتوکوکوس پلوویالیسی از طریق القاگر گابا در شرایط نوری مختلف انجام گردید. انتخاب یک القاگر و نور مناسب، این پتانسیل را دارد که بهره‌وری فتوسنتز را به حداکثر برساند و منجر به کاهش هزینه‌های کلی تولید شود. **مواد و روش‌ها:** سلول‌های ریزجلبک، بعد از عبور فاز رشد، در ۶ تیمار متفاوت با سه تکرار برای گابا با غلظت‌های (صفر و ۰/۰۰۰۱ گرم در لیتر) و زیر تابش نور LED با سه رنگ سفید، آبی و قرمز با چرخه خواب بیداری (۱۶-۸) تیمار داده شد. پارامترهای میزان رشد سلول‌ها، کلروفیل، کاروتنوئید، مقدار آستاگزانتین کل و بیان برخی از ژن‌های مسیر بیوسنتز آستاگزانتین (bkt2, lcy, psy) مورد بررسی قرار گرفت.

نتایج: نتایج نشان داد که نور آبی نسبت به نور سفید بازده تقسیم و رشد سلولی را افزایش داد (۲/۶۴ برابر) و نور قرمز نسبت به نور سفید میزان بیوسنتز و انباشت آستاگزانتین را افزایش داد (۴/۹۴ میلی‌گرم بر گرم). هم‌چنین، گابا رشد سلولی، تولید آستاگزانتین را افزایش می‌دهد. با استفاده از گابا در نور قرمز، انباشت آستاگزانتین مقدار قابل‌توجهی بالاتر از نورهای سفید و آبی بود؛ ولی سرعت رشد و تقسیم سلولی کم‌تری نیز داشت. نتایج بیان ژن مسیر سنتز آستاگزانتی نیز نشان داد که گابا در نور آبی و قرمز، را به‌طور قابل‌توجهی القا می‌کند.

بحث و نتیجه‌گیری: به‌طور کلی گابا با نور قرمز بیش‌ترین میزان تولید آستاگزانتین را ایجاد می‌کند بنابراین گابا به‌همراه نور قرمز می‌تواند به‌عنوان یک محرک رشد و تولید آستاگزانتین استفاده گردد.

* پست الکترونیکی نویسنده مسئول:

aqasemi@gmail.com

تاریخ دریافت: ۹ شهریور ۱۴۰۳

تاریخ داوری: ۱۳ مهر ۱۴۰۳

تاریخ اصلاح: ۱۶ آذر ۱۴۰۳

تاریخ پذیرش: ۱۷ دی ۱۴۰۳

مقدمه

کاروتنوئید به عنوان اجزای سلولی ضروری در میکروارگانیسم‌ها، قارچ‌ها، جلبک‌ها، گیاهان عالی، حیوانات و انسان‌ها شناخته شده‌اند. آن‌ها هم‌چنین یکی از اصلی‌ترین رنگ‌های طبیعی غذایی با استفاده گسترده هستند. اگرچه عموماً حیوانات قادر به سنتز کاروتنوئیدهای جدید نیستند. در موجودات زنده، این ترکیبات حساس به نور نقش‌های مهمی مانند رنگ‌آمیزی بدن، بافت‌ها ایفا می‌کنند و امکان سازگاری رنگی با محیط و هم‌چنین با به عهده گرفتن عملکردهای مختلف فیزیولوژیکی مانند تنفس و بینایی را دارند (۱). ویژگی شیمیایی مشترک کاروتنوئیدها زنجیره پلی‌لن؟ است، یک سیستم پیوند دوگانه مزدوج طولانی که مسئول فعالیت‌های آنتی‌اکسیدانی کاروتنوئیدها با خاموش کردن اکسیژن منفرد و از بین بردن رادیکال‌ها برای پایان دادن به واکنش‌های زنجیره‌ای است. رفتار مختلف آنتی‌اکسیدانی کاروتنوئیدها ناشی از ساختار متفاوت گروه‌های انتهایی و تعداد و موقعیت گروه‌های متیل است (۲). از میان تمامی کاروتنوئیدها، فقط تعداد بسیار کمی به صورت تجاری شامل بتاکاروتن، آستاگزانتین، لوتئین، زاگزانتین، لیکوپن (Lycopene) و بیکسین (Bixin) مورد استفاده قرار می‌گیرند. مهم‌ترین کاربرد آن‌ها به عنوان رنگ‌های خوراکی طبیعی (مانند آب‌پرتقال) و افزودنی برای خوراک حیوانات (طیور، ماهی) است. ارتباط تغذیه‌ای و درمانی برخی کاروتنوئیدها به دلیل توانایی آن‌ها، به عنوان پرو‌ویتامین A است. از بین چندین کاروتنوئید موجود طبیعی، آستاگزانتین یکی از بهترین کاروتنوئیدها است که می‌تواند از سلول‌ها، لیپیدها و لیپوپروتئین‌های غشایی در برابر آسیب اکسیداتیو محافظت کند (۱). آستاگزانتین در مقایسه با کاروتنوئیدهای مختلف مانند لوتئین، لیکوپن، الفاکاروتن و بتاکاروتن، فعالیت آنتی‌اکسیدانی بهتری را دارد (۳). هماتوکوکوس پلوویالیس یک ریزجلبک تک‌سلولی آب شیرین، متعلق به کلاس جلبک سبز کلروپایسه است. به دلیل ظرفیت بالای تولید آستاگزانتین، یک آنتی‌اکسیدان قوی که به طور گسترده‌ای به عنوان رنگ‌دانه و هم‌چنین یک جزء تغذیه‌ای در آبی‌پروری و مکمل‌های غذایی استفاده می‌شود، توجه زیادی را به خود جلب کرده است. مصرف‌کنندگان در مورد استفاده از آستاگزانتین سنتز شده شیمیایی به عنوان رنگ در صنعت آبی‌پروری قزل‌آلای رنگین‌کمان ابراز نگرانی کرده‌اند و تقاضا برای آستاگزانتین با منبع طبیعی در حال افزایش است (۴). در طول مراحل ایجاد هماتوسیس، طول موج‌های مختلف نور بر تجمع آستاگزانتین در هماتوکوکوس پلوویالیس گزارش شد. به عنوان مثال، نور آبی برای تجمع آستاگزانتین به جای نور قرمز مطلوب است. بنابراین، طول موج‌های مختلف نور بر مسیر بیوسنتز آستاگزانتین تأثیر می‌گذارد

(۵). هماتوکوکوس پلوویالیس با سرعت نسبتاً کم رشد می‌کند و مقدار ناچیز آستاگزانتین را جمع می‌کند برای تولید مقیاس تجاری، اگر کشت تک‌مرحله‌ای در نظر گرفته شود بسیار کم است (۶). پیشرفت‌های اخیر در کشت هماتوکوکوس پلوویالیس برای تولید آستاگزانتین شامل یک سیستم کشت میکروتروفیک دو مرحله‌ای و یک بیوفیلیم بی‌حرکت است، یعنی کشت پیوسته است که در کشت پیوسته چگالی بهینه تلقیح و شدت نور به ترتیب ۱۰ گرم در مترمربع و ۱۰۰ میکرومول در مترمربع بر ثانیه می‌شود (۷). مطالعات نشان داده‌اند که هم رشد و هم تولید آستاگزانتین در شرایط کشت میکسوتروفیک قابل افزایش است در حالی که تولید آستاگزانتین در شرایط کشت فوتوتروفیک القا شد. القای تجمع آستاگزانتین در شرایط محرومیت نیتروژن و با استفاده از دی‌اکسید کربن به عنوان منابع کربن انجام شد. مقدار آستاگزانتین سلولی بسیار بالا حاصل شد (۸). تأثیر نور قرمز و اسید گابا-آمینو بوتیریک (GABA) بر تولید آستاگزانتین در برخی از ارگانیسم‌ها، از جمله جلبک‌ها، در تحقیقات علمی مورد مطالعه قرار گرفته است (۹). نور قرمز، به ویژه طول موج‌هایی در محدوده ۷۰۰-۶۰۰ نانومتر، توسط کلروفیل جذب می‌شود و می‌تواند فتوسنتز در جلبک‌ها را تحریک کند. افزایش فعالیت فتوسنتزی می‌تواند منجر به افزایش تولید کاروتنوئیدها، از جمله آستاگزانتین، گردد زیرا که در کلروپلاست‌ها سنتز می‌شوند. هم‌چنین نور قرمز ممکن است بر تنظیم بیان ژنی مرتبط با بیوسنتز کاروتنوئیدی تأثیر بگذارد. این می‌تواند بر فعالیت آنزیم‌های مرتبط با مسیر کاروتنوئیدی تأثیر گذاشته و باعث افزایش سنتز آستاگزانتین شود که نتیجه مشابهی در این تحقیق به دست آمد. هم‌چنین گابا تأثیر مثبتی بر روند تولید آستاگزانتین داشت (۱۰). GABA به عنوان یک اسید آمینه غیر پروتئینی، نقش‌های متنوعی در فرآیندهای سلولی و مسیرهای سیگنال‌دهی در ارگانیسم‌های مختلف ایفا می‌کند. مطالعات نشان می‌دهند که GABA ممکن است به عنوان یک مولکول سیگنال‌دهنده که بر مسیرهای متابولیکی، از جمله مسیرهای مرتبط با بیوسنتز کاروتنوئیدی تأثیر می‌گذارد، عمل کند. هم‌چنین GABA با کاهش استرس در گیاهان و جلبک‌ها ارتباط دارد. شرایط استرس ممکن است باعث تحریک تولید ترکیبات محافظ مانند کاروتنوئیدها، از جمله آستاگزانتین، شود. GABA ممکن است با کاهش استرس و در نتیجه تغییر مسیرهای متابولیکی به سمت سنتز کاروتنوئیدها، به طور غیرمستقیم بر تولید آستاگزانتین تأثیر بگذارد. هر دو نور قرمز و GABA می‌توانند مسیرهای متابولیکی و عبارات ژنی را تنظیم کرده و به طور غیرمستقیم بر تولید آستاگزانتین تأثیر بگذارند. با این حال، اثرات خاص آن‌ها می‌تواند بسته به نوع ارگانیسم، نوع ژن، شرایط محیطی و شدت نور قرمز یا غلظت GABA که استفاده می‌شود، متفاوت باشد. پژوهش‌ها هم‌چنان به بررسی این عوامل و مکانیسم‌های

میزان ۱۰ میلی‌لیتر استوک ریزجلیک در آب دو بار تقطیر استریل شده در دمای ۱۲۱/۸ و فشار ۲Bar، کشت گردید و سپس برای بار دوم پس از ۲ روز در ارلن مایر ۵۰۰ میلی‌لیتر از محیط کشت مطابق با دستورالعمل کشت داده شد. سلول‌های رویشی سبز در فاز رشد نامایی، پس از انکوباسیون ۲ روزه، با استفاده از سانتریفیوژ در $3500 \times g$ برای ۱۰ دقیقه، یکبار با محیط BBM بدون نیترات تازه (BBM-N) شسته شد و سپس در محیط BBM-N دوباره به حالت تعلیق درآمد. تراکم سلولی به 2×10^5 سلول در میلی‌لیتر تنظیم شد، سپس کشت‌ها دوباره به ظروف موردنظر ریخته شد و برای ۶ روز دیگر در معرض شرایط نوری مدنظر قرار گرفت. بعد از مدت ۸ روز و افزایش تعداد سلول‌ها تا به حد مدنظر، کشت به حجم بالاتر (۱۰۰۰ ml) پاساژ داده شد و در مقدار ۱۰۰ میلی‌لیتر به ازای هر ۱ لیتر محیط کشت، با استفاده از آب دو بار تقطیر استریل شده کشت گردید. در نهایت، با تکمیل فرآیند کشت و رساندن استوک به حجم ۶ لیتر برای کشت و القای تیمار استفاده شد. به این صورت، در ازای هر لیتر محیط کشت مقدار ۱۰۰ میلی‌لیتر استوک استفاده گردید.

جدول ۱: مقادیر استفاده‌شده در ساخت محیط کشت BBM

نوع ماده مصرفی	مقدار ماده مصرفی (گرم بر لیتر)	استوک
NaNO ₃	۲/۵	A
CaCl ₂ .2H ₂ O	۰/۲۵	
MgSO ₄ .7H ₂ O	۰/۷۵	
K ₂ HPO ₄	۰/۷۵	
KH ₂ PO ₄	۱/۷۵	
NaCl	۰/۲۵	
EDTA	۵	B
KOH	۳/۱	C
FeSO ₄ .7H ₂ O	۰/۴۹۸	
H ₂ SO ₄	۱ میلی‌لیتر	
ZnSO ₄ .7H ₂ O	۰/۸۸۲	D
MnCl ₂ .4H ₂ O	۰/۱۴۴	
MoO ₃	۰/۰۷	
CuSO ₄ .5H ₂ O	۰/۱۶	
H ₃ BO ₃	۱/۱۴	E

القای سلولی: در انتهای مرحله رشد در حجم ۶ لیتری (۳ عدد ارلن مایر ۲ لیتری)، محلول حاوی سلول‌ها در ارلن مایرهای ۲ لیتری تقسیم شد. هر یک از ۶ تیمار مختلف در ۳ تکرار تهیه گردید و در مجموع تعداد ۱۸ ارلن مایر ۲ لیتری کشت جهت القای تیمار، آماده گردید. ریزجلیک‌ها با غلظت محرک گابا و سه رنگ LED به رنگ‌های

دقیق آن‌ها برای بهینه‌سازی تولید آستاگزانتین در ارگانیزم‌های مختلف برای کاربردهای پتانسیلی در صنایعی نظیر داروسازی، آبی‌پروری و مکمل‌های غذایی ادامه دارد (۱۱). آستاگزانتین یکی از ترکیبات پرارزش ریز جلیک‌ها است که هماتوکوکوس پلوویالیس از جمله ریز جلیک‌هایی است که توانایی سنتز و انباشت این مولکول را تا چهار درصد زیست‌توده را داراست. تحقیقات بی‌شماری در مورد مزایای بالقوه آستاگزانتین برای انسان و حیوانات صورت گرفته و کارهای زیادی در شناسایی، تولید و استفاده از منابع طبیعی آن نیز انجام شده است. با توجه به این نکته که آستاگزانتین از جمله متابولیت‌های ثانویه (ترکیباتی که توسط سلول‌ها در شرایط خاص سنتز می‌شود و سلول‌ها در شرایط عادی نیازی به تولید آن‌ها ندارند) است، ایجاد شرایط کشت مناسب و تنشی برای تولید و انباشت این ترکیب باید به گونه‌ای باشد که به سلول‌ها آسیب وارد نشده و منجر به مرگ سلول‌ها نگردد، هم چنین شرایط تنشی به گونه‌ای تنظیم شود که مقدار بیش‌تری از آستاگزانتین توسط سلول‌های جلیک تولید شود (۱۲). تولید آستاگزانتین در سلول‌های جلیک، به القاگرهای نور و محرک‌های شیمیایی وابسته است. اضافه کردن موادی چون گابا و ملاتونین که موجب ایجاد تغییراتی شیمیایی در محیط سلول‌ها می‌شوند، در زمره محرک‌های شیمیایی قرار می‌گیرند. بنابراین هدف این پژوهش افزایش توان تولید آستاگزانتین و محصول جانبی آن (اسیدهای چرب) از طریق القاگر گابا و نور می‌باشد.

مواد و روش‌ها

انجام این پژوهش، شامل سه مرحله اصلی کشت، اعمال تیمار، سنجش کمی و کیفی و تحلیل داده‌های آماری است که هر یک از این فرآیندها به شرح زیر است:

تهیه سلول‌های جلیک: این گونه جلیکی آب‌شیرین، ریزجلیک هماتوکوکوس پلوویالیس است که به صورت نمونه‌های آماده تجاری قابل تهیه می‌باشند. این نمونه در حجم ۲۰۰ میلی‌لیتر از شرکت توسعه ذخایر زیستی جلیک‌های فارس واقع در شهر شیراز، پارک علم و فناوری فارس تهیه گردید. کشت اولیه و تولید زیست‌توده: به جهت کشت ریزجلیک، در محیط مایع از محیط کشت BBM با مقادیر درشت مغذی‌ها و ریزمغذی‌ها استاندارد استفاده شد (۱۳). محیط کشت به صورت ۵ استوک (A, B, C, D, E) به میزان غلظت $10 \times$ آماده‌شده و با اتوکلاو استریل گردید. سپس به جهت غنی‌سازی محیط کشت، ویتامین‌های (B₁, B₆ و B_{۱۲}) نیز به صورت محلول با غلظت یک میکروگرم در لیتر با آب دو بار تقطیر به صورت جداگانه رقیق شد و تهیه گردید و برای کشت در حجم ۱۰۰ میلی‌لیتر به

حاوی ریز جلبک نمونه‌گیری شد. به مدت ۱۰ دقیقه در سرعت ۱۳۰۰۰ دور بر دقیقه سانتریفیوژ شد. مقدار یک میلی‌لیتر از استون ۸۰ درصد (حجمی/حجمی) اضافه شد. مخلوط به مدت ۳۰ دقیقه در حمام آب در دمای ۵۰ درجه سانتی‌گراد انکوبه شد. با تکان دادن و پیپت شدید سلول‌ها شکسته شده و رنگ‌دانه‌ها جدا شد. در ۳۰۰۰ دور در دقیقه به مدت ۱۰ دقیقه سانتریفیوژ شد. سپس مایع رویی جذب محلول در برابر بلانک استون ۸۰ درصد در طول موج‌های ۴۳۱، ۴۵۰، ۴۶۰، ۴۷۴، ۴۷۰ و ۴۸۰ نانومتر خوانده شد و با استفاده از رابطه‌های زیر مقادیر مورد نظر محاسبه گردید:

مقادیر کلروفیل های A و B (ug/ml)

$$C_{chl.a} = -1/7.09(A_{412}) + 11/97.0(A_{431}) - 2/99(A_{460}) - 5/71(A_{480})$$

$$C_{chl.b} = -0.17(A_{412}) - 0.23(A_{431}) + 11/87(A_{460}) - 13/25(A_{480})$$

C chl.a: غلظت کلروفیل A (mg/L) C chl.b: غلظت کلروفیل B (mg/L) ۴۱۲A، جذب در طول موج ۴۱۲ نانومتر، ۴۳۱A، جذب در طول موج ۴۳۱ نانومتر، ۴۶۰A، جذب در طول موج ۴۶۰ نانومتر، ۴۸۰A، جذب در طول موج ۴۸۰ نانومتر

مقدار چرا دو واحد مختلف ذکر شده است کاروتنوئید کل (ug/ml)
 $C_{x+c} = 1000(A_{470} - 0.27(Ca) - 0.11(Cb)) / 198$

Cx+c: کاروتنوئید کل، Ca: کلروفیل a، Cb: کلروفیل b، مقدار بتا کاروتن (ug/ml)

$$\beta\text{-carotene} = -0.43(A_{412}) + 0.25(A_{431}) - 4/38(A_{460}) + 14/22(A_{480})$$

مقدار آستاگزانتین (ug/ml)

$$C_{ast} = (A_{474} - 0.83) / 143$$

C ast: غلظت آستاگزانتین، ۴۷۴A، جذب نوری نمونه در طول موج ۴۷۴ نانومتر

سنجش بیان ژن (RT-PCR): برای تحلیل تغییرات ژن‌های

مسیر بیوسنتز آستاگزانتین (psylcy و bkt2) در روزهای ۴، ۸، ۱۲ و ۱۶ نمونه‌گیری انجام گردید. در زمان نمونه‌گیری، نمونه جمع‌آوری شده از سه ارلن (تکرار)، مخلوط و به‌عنوان یک نمونه در نظر گرفته شد. برای هر نمونه ۳۰ میلی‌لیتر محیط کشت، در دور ۱۰۰۰۰ rpm واحد بر حسب g سانتریفیوژ گردید. رسوب حاصل با آب مقطر شسته، بلافاصله توسط نیتروژن مایع منجمد و سپس در دمای ۸۰- درجه سانتی‌گراد ذخیره گردید. به جهت استخراج RNA، از کیت استخراج شرکت دنازیست ایران استفاده شد با این دستورالعمل استوک RNA برای انجام مراحل بعد آماده گردید و تازمان استفاده در دمای منفی ۳۰ درجه سانتی‌گراد قرار گرفت. در ادامه برای اجرای واکنش RT-PCR، با بهره‌گیری از ۵۰۰ نانوگرم از RNA و پرایمر Randum First Strand cDNA Synthesis Kit از کیت hexamer با بهره‌گیری از کیت Thermo Scientific RevertAid (آمریکا)، در حجم ۲۰ میکرولیتر

سفید، آبی و قرمز در محفظه‌های از پیش‌ساخته شده و ایزوله تیمار بندی شد انجام شد. هوادهی تمامی تیمارها یکسان و میزان هوای ورودی ۲۴ ساعته با شدت جریان هوای ثابت (ده لیتر در ساعت) صورت گرفت و به‌منظور حذف آلودگی‌های هوا از فیلتری که با پنبه استریل و زغال فعال ساخته شده بود استفاده گردید.

تیمار بندی و نوردهی: در این پژوهش، تیمار مختلف نور مورد

استفاده شامل سه نور آبی، قرمز و آفتابی است که در آن هماتوکوکوس پلوویالیس را با LEDهایی قرمز و آبی با روشنایی ۷۰ میکرومول متر مربع بر ثانیه و نور آفتابی ۱۵۰ میکرومول بر مترمربع بر ثانیه کشت شدند. هم‌چنین، با استفاده از گابا که مقدار آن صفر و ۰/۰۰۰۱ گرم بر لیتر در نظر گرفته شد طی شرایط مختلف نوری قرار داده شدند. اثرات طول موج بر سرعت رشد و تجمع آستاگزانتین در سلول‌ها در طول دوره نوری مورد آزمون، شامل دوره‌های تاریکی-روشنایی (۱۶:۸) ساعته خواهد بود، مورد بررسی قرار گرفت.

جدول ۲: تیمار بندی و کلمات اختصاری هر تیمار

نوع تیمار	عنوان تیمار به اختصار
نور سفید+شاهد	WC
نور سفید+گابا	WG
نور آبی+شاهد	BC
نور آبی+گابا	BG
نور قرمز+شاهد	RC
نور قرمز+ گابا	RG

القای تنش: القای سنتز کاروتنوئید در هماتوکوکوس پلوویالیس

با محتوای آستاگزانتین سلول‌ها و نهایتاً محتوای کل آستاگزانتین ارتباط مستقیمی دارد. در این راستا، در روز ۱۲ با استفاده از نمک (سدیم کلرید) برای تحریک و انتقال ریز جلبک به فاز تولید آستاگزانتین استفاده گردید و به ازای هر لیتر ۰/۱۶ گرم نمک (۲ میلی‌مولار) به ارلن‌های حاوی ریز جلبک اضافه شد.

سنجش‌های رشد سلولی: برای شمارش تعداد سلول‌های جلبکی

در طی کشت روزانه یک‌بار از تیمارها نمونه‌برداری کرده و به‌وسیله لام هموسی‌تومتر در زیر میکروسکوپ شمارش انجام شد. سنجش شاخصه‌های رشد غلظت زیست‌توده، مقدار کلروفیل و کاروتنوئید نیز به‌وسیله اسپکتروفومتر (Microplate Reader Synergy HTX) UV-visible اندازه‌گیری شد. توده خشک از محاسبه منحنی کالیبراسیون بین جذب و وزن زیست‌توده خشک محاسبه شد (۱۴). جهت اندازه‌گیری مقدار رنگ‌دانه‌ها (کلروفیل و کاروتنوئید) از روش Zožio و همکاران استفاده گردید (۱۵). برای خوانش جذب در طول موج‌های مربوط به کلروفیل‌ها و رنگ‌دانه‌های کاروتنوئیدی یک میلی‌لیتر از محیط کشت

مطالعه از ژن 18sRNA به‌عنوان کنترل داخلی استفاده و بیان ژن‌های دیگر در مورد مطالعه با توجه به بیان ثابت این ژن ارزیابی گردید. برای هر نمونه سه تکرار و نمونه‌های کنترل منفی فاقد cDNA در هر واکنش در نظر گرفته شد.

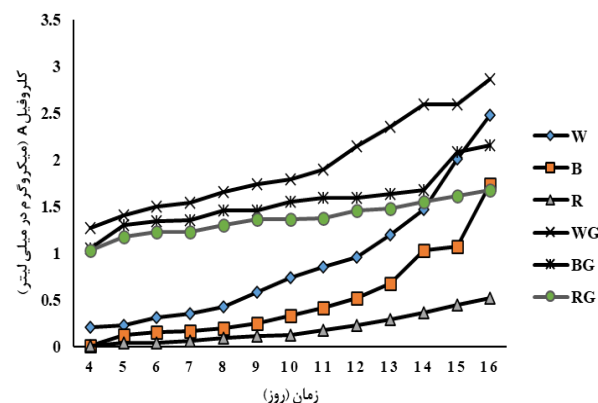
cDNA سنتز گردید. توالی آغازگرهای ژن‌های مسیر بیوسنتز آستاگزانتین (psy, lcy, bkt2) موردنظر بر اساس انتخاب گردید و ژن 18sRNA به‌عنوان ژن مرجع انتخاب گردید (جدول ۳). به‌منظور ارزیابی بیان ژن از روش PCR در زمان حقیقی و روش مقایسه‌ای ΔCt انجام شد. روش آزمون بر پایه کاربرد رنگ سایبرگرین استوار بود. در این

جدول ۳: آغازگرهای مورد استفاده در سنجش بیان ژن

Primer	Primer sequence (5'-3')	Annealing	GenBank ID
psyF	CGATACCAGACCTTCGACG	55	AF305430
psyR	TGCCTTATAGACCACATCCAT	60	X86783
lycF	TGGAGCTGCTGCTGCCCT	61	AY603347
lycR	GAAGAAGAGCGTGATGCCGA	60	AF082325
bkt2F	CAATCTTGTGACGATTCCGC	61	U70590.1
bkt2R	CAGGAAGCTCATCACATCAGA	62	JQ867352.1,
18sF	CAAAGCAAGCCTACGCTCT	60	JQ867352.1,
18s R	ATACGAATGCCCCCGACT	60	JQ867352.1,

روزانه با لام هموسایتومتر شمارش گردید نشان می‌دهد که میزان رشد سلولی از $2/4 \times 10^5$ در روز اول کشت و قبل از اعمال تیمار، به مقدار $5/0 \times 10^5$ در نور سفید، $4/4 \times 10^5$ در نور قرمز و $6/33 \times 10^5$ است که در نور آبی که بیش‌ترین میزان رشد و تکثیر سلولی را مشاهده گردید.

میزان کلروفیل A: مقدار کلروفیل A به‌ترتیب در نور سفید با بیش‌ترین میزان و در روزهای ۱۰، ۱۱ و ۱۲ به بالاترین سطح خود $2/47$ میکروگرم بر میلی‌لیتر رسید و پس از آن در آبی و کم‌ترین میزان کلروفیل در نور قرمز مطابق با شکل ۲ قابل‌مشاهده است. در تیمار گابا نیز بیش‌ترین میزان کلروفیل A در نور سفید و سپس آبی به‌ترتیب میزان $2/8$ و $2/6$ میکروگرم بر میلی‌لیتر رسید و این افزایش از روز ۴ تا روز ۱۴ نرخ افزایشی و از روز ۱۴ به بعد نرخ ثابت به خود داشته است.



شکل ۲: تغییرات میزان کلروفیل A با گذشته‌زمان در تیمارهای مختلف (WC): نور سفید، (BC): نور آبی، (RC): نور قرمز، (WG): نور سفید+گابا، (BG): نور آبی+گابا، (RG): نور قرمز+ گابا

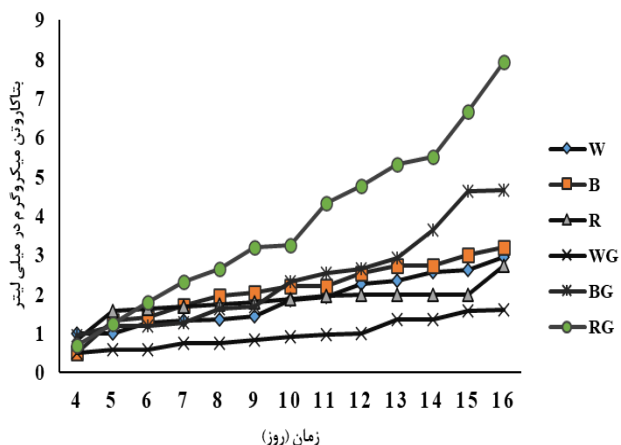
ترکیبات مواد (Mastermix Sybergreen Amplicon) مخصوص واکنش PCR در زمان حقیقی به‌ترتیب در ویال‌های مخصوص $0/2$ میلی‌لیتری در پوش‌دار اضافه شد و برنامه دستگاه جهت واکنش با شرایط چرخه‌شامل واسرشته‌سازی اولیه در دمای 95 درجه سانتی‌گراد به مدت 15 دقیقه، مرحله دوم 40 چرخه شامل واسرشته‌سازی در دمای 95 درجه سانتی‌گراد به مدت 15 ثانیه، اتصال آغازگر در دمای 60 درجه سانتی‌گراد به مدت 20 ثانیه و بسط در دمای 72 درجه سانتی‌گراد به مدت 20 ثانیه و منحنی ذوب از دمای 50 تا 99 بود میزان بیان ژن با روش $2^{-\Delta\Delta Ct}$ محاسبه گردید (۱۶).

تحلیل آماری: برای آنالیز آماری داده‌ها از نرم‌افزار SPSS و ویرایش 19 و نرم‌افزار Microsoft Office Excel و ویرایش 2016 برای رسم نمودارها استفاده گردید. نرمال بودن داده‌ها با آزمون کولموگراف اسمیرنوف بررسی شد. پس از اطمینان از توزیع نرمال بودن داده‌ها و یکنواختی واریانس‌ها جهت بررسی وجود یا عدم وجود اختلاف معنی‌دار بین تیمارها از آزمون آنالیز واریانس یک‌طرفه (One Way ANOVA) و برای مقایسه واریانس‌ها و بررسی وجود یا عدم وجود اختلاف معنی‌دار بین میانگین‌ها از آزمون دانکن در سطح $0/05$ استفاده شد.

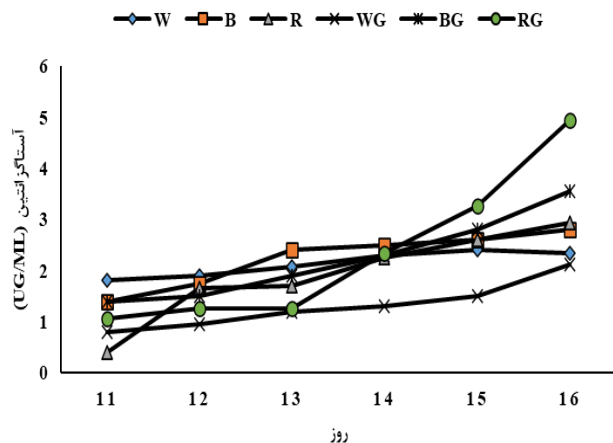
نتایج

نتایج کشت و تراکم سلولی: کشت سلول‌های هماتوکوکوس پلویالیس به مدت زمان 16 روز در محیط کشت BBM انجام گردید. بعد از القای محرک‌های گابا، از روز 4 نمونه‌برداری شد براساس نتایج به‌دست‌آمده، میزان رشد پس از دوره 16 روزه کشت که به‌صورت

گابا و نور آبی به میزان ۳/۳ میکروگرم بر میلی گرم، در نور سفید ۲/۱ میکروگرم بر میلی گرم و نور قرمز به میزان ۲/۵ بوده است (شکل ۶). در تیمار گابا و نور سفید میزان تولید استاگزانتین نسبت به نور سفید را کاهش داد.



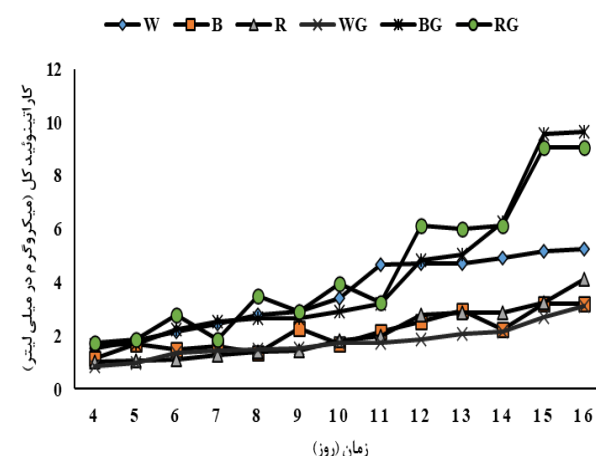
شکل ۵: مقایسه تغییرات بتاکاروتن در جلبک هماتوکوکوس پلوویالیس در نورهای سفید، قرمز و آبی و تیمار گابا کشت شده در محیط کشت BBM طی دوره ۱۶ روزه. (WC: نور سفید، BC: نور آبی، RC: نور قرمز، WG: نور سفید+گابا، BG: نور آبی+گابا، RG: نور قرمز+گابا)



شکل ۶: مقایسه تغییرات سنتز استاگزانتین در جلبک هماتوکوکوس پلوویالیس در نورهای سفید، قرمز و آبی و تیمار گابا کشت شده در محیط کشت BBM طی دوره ۱۶ روزه. (WC: نور سفید، BC: نور آبی، RC: نور قرمز، WG: نور سفید+گابا، BG: نور آبی+گابا، RG: نور قرمز+گابا)

سنجش ترکیبات فنلی: نتایج به دست آمده گواهِ بر این است که ترکیبات فنلی در تیمارهای نور سفید و قرمز بیش تر از نور آبی؛ و گابا بیش ترین تأثیر در تولید ترکیبات فنلی را داشت (شکل ۷).

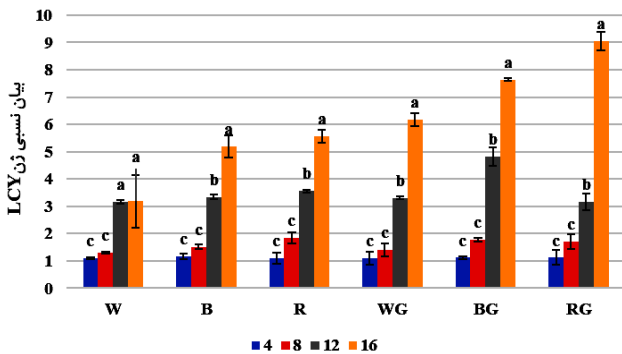
کاروتنوئید کل: بررسی های انجام شده، گواهِ بر این است که روند سنتز کاروتنوئید در ریزجلبک هماتوکوکوس پلوویالیس در تیمارهای مختلف دارای نرخ افزایشی از روز ۸ تا پایان دوره بوده است و در تیمار شاهد با نور سفید به ۴ میکروگرم بر میلی لیتر (شکل ۴) در تیمار گابا با نور آبی به میزان ۸/۳ میکروگرم بر میلی لیتر (شکل ۴) رسید. بیش ترین میزان کاروتنوئید در نور قرمز و آبی به همراه گابا مشاهده گردید ($P < 0.05$).



شکل ۴: مقایسه تغییرات سنتز کاروتنوئید کل در جلبک هماتوکوکوس پلوویالیس در نورهای سفید، قرمز و آبی و تیمار گابا کشت شده در محیط کشت BBM طی دوره ۱۶ روزه. (WC: نور سفید، BC: نور آبی، RC: نور قرمز، WG: نور سفید+گابا، BG: نور آبی+گابا، RG: نور قرمز+گابا)

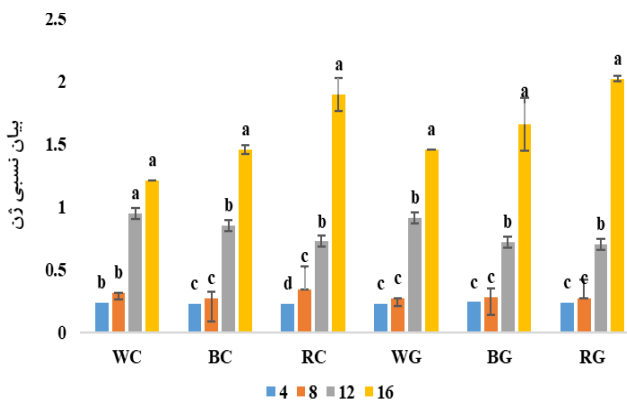
بتاکاروتن: بررسی های انجام شده در روند سنتز بتاکاروتن در ریزجلبک هماتوکوکوس پلوویالیس در تیمارهای مختلف دارای نرخ افزایشی از روز ۴ تا پایان دوره بوده است. در تیمار شاهد مقدار بتاکاروتن در نور قرمز به همراه گابا با بیش ترین میزان رشد به ۸ میکروگرم بر میلی لیتر در روز ۱۶ رسید (شکل ۵). در تیمار گابا نیز به میزان ۴/۵ میکروگرم بر میلی لیتر در نور آبی در روز ۱۶ رسید (شکل ۵). بیش ترین میزان بتاکاروتن در تیمار نور قرمز مشاهده گردید ($P < 0.05$).

آستاگزانتین: بررسی روند سنتز آستاگزانتین به صورت روزانه از روز ۱۱ تا دلیل این که بررسی روزانه در تاریخ های متفاوتی آغاز شده است را لطفاً بفرمایید پایان دوره کشت انجام پذیرفت. با استفاده از داده های به دست آمده، سنتز آستاگزانتین در ریزجلبک هماتوکوکوس پلوویالیس در تیمارهای مختلف دارای نرخ افزایشی بوده است. با توجه به نتایج به دست آمده، بیش ترین میزان آستاگزانتین به ترتیب در تیمار گابا و نور قرمز به میزان ۵/۱ میکروگرم بر میلی گرم و در



شکل ۹: نمودار مقدار بیان نسبی ژن lcy در مسیر بیوسنتز آستاگزانتین در ریز جلبک هماتوکوکوس پلوویالیس تحت شرایط تیمار شاهد و همراه با گابا و نورهای سفید، قرمز و آبی در روزهای ۴، ۸، ۱۲ و ۱۶. (WC: نور سفید، BC: نور آبی، RC: نور قرمز، WG: نور سفید+گابا، BG: نور آبی+گابا، RG: نور قرمز+گابا)

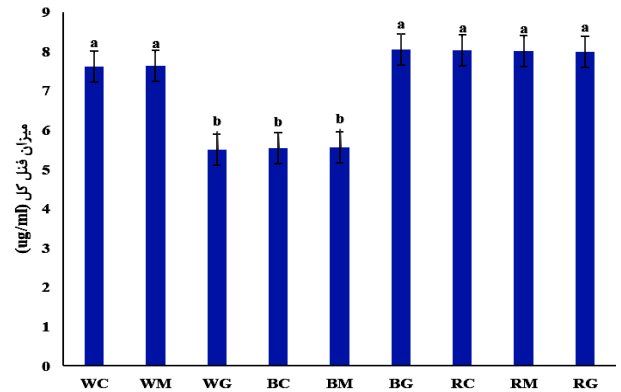
بیان ژن bkt2 در تیمارهای مختلف از روز ۴ تا ۱۶ افزایش داشت. در روزهای ۴، ۸ و ۱۲ اختلاف معنی‌داری در میزان بیان ژن در تیمارهای مختلف مشاهده نگردید ($P > 0.05$). در روز ۱۶ بیش‌ترین میزان افزایش بیان در تیمار RG محاسبه گردید ($P < 0.05$) (شکل ۱۰).



شکل ۱۰: نمودار مقدار بیان نسبی ژن bkt2 در مسیر بیوسنتز آستاگزانتین در ریز جلبک هماتوکوکوس پلوویالیس تحت شرایط تیمار شاهد و همراه با گابا و نورهای سفید، قرمز و آبی در روزهای ۴، ۸، ۱۲ و ۱۶. (WC: نور سفید، BC: نور آبی، RC: نور قرمز، WG: نور سفید+گابا، BG: نور آبی+گابا، RG: نور قرمز+گابا)

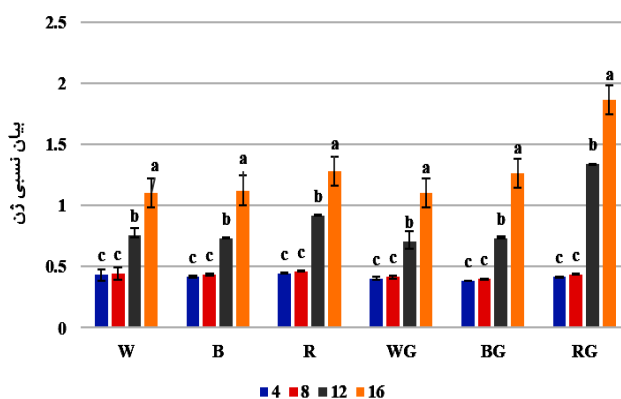
بحث

سلول‌های سبز ریزجلبکی به صورت معمول کلروفیل‌های غیر کاروتنوئیدی را سنتز می‌کنند. اندازه‌گیری مقدار کلروفیل‌های A و B، مقدار کاروتنوئید کل، بتاکاروتن و آستاگزانتین به عنوان شاخصی مناسب جهت بررسی و رسم نمودار انجام گرفت. نمودار کلروفیل رشد



شکل ۷: میزان فنل کل بر حسب میلی‌گرم اسید گالیک بر گرم جلبک در جلبک هماتوکوکوس پلوویالیس پس از دوره کشت شده ۱۶ روزه. (WC: نور سفید، BC: نور آبی، RC: نور قرمز، WG: نور سفید+گابا، BG: نور آبی+گابا، RG: نور قرمز+گابا)

بیان ژن‌های مسیر سنتز آستاگزانتین: تغییرات بیان ژن‌های lcy و psy، bkt2 در مسیر سنتز آستاگزانتین به صورت نسبی (ژن رفرنس 18sRNA) اندازه‌گیری شد. نتایج نشان داد که ژن psy به طور کلی از روز ۴ تا ۱۶ افزایشی است در روز ۴ و ۸ اختلاف معنی‌داری بین بیان این ژن‌ها در تیمارهای مختلف وجود نداشت ($P > 0.05$). در روز ۱۲ و ۱۶ در تیمار RG بیش‌ترین میزان بیان ژن مشاهده گردید ($P < 0.05$). نتایج بیان ژن lcy از روز ۴ تا ۱۶ در تیمارهای مختلف افزایشی بود در روز ۴ و ۸ اختلاف معنی‌داری بین بیان این ژن‌ها در تیمارهای مختلف مشاهده نگردید ($P > 0.05$); اما در روز ۱۲ و ۱۶ در تیمارهای RG، BG بیش‌ترین میزان بیان ژن مشاهده گردید ($P < 0.05$) (شکل ۸).



شکل ۸: نمودار مقدار بیان نسبی ژن psy در مسیر بیوسنتز آستاگزانتین در ریز جلبک هماتوکوکوس پلوویالیس تحت شرایط تیمار شاهد و همراه با گابا و نورهای سفید، قرمز و آبی در روزهای ۴، ۸، ۱۲ و ۱۶. (WC: نور سفید، BC: نور آبی، RC: نور قرمز، WG: نور سفید+گابا، BG: نور آبی+گابا، RG: نور قرمز+گابا)

کاتالیز می‌شود. تشکیل آستاگزانتین با مصرف بتاکاروتن نیاز به حضور دو گروه هیدروکسی در C3 و C30 که توسط دو ژن *CrtR-b* و *Chy* و *CrtO* دارد. واکنش دوم وابسته به اکسیژن است و توسط دو ژن مختلف *bkt* یعنی *bkt1* و *bkt2* به‌طور جداگانه صورت می‌گیرد (۱۹). سنتز آستاگزانتین ممکن است براساس دو مسیر فرضی اصلی اتفاق بیفتد: مسیر اول با اکسیداسیون بتاکاروتن شروع می‌شود در حالی که مسیر دوم با هیدروکسیلاسیون بتاکاروتن و به‌عنوان واسطه، *b*-کرپتوکسانتین، زاگزانتین و آدونیزانتین شروع می‌شود (۲۰). به نظر می‌رسد گابا و نورهای مختلف با تاثیر بر مسیرهای سنتز آستاگزانتین میزان تولید را بالا می‌برد.

بیان ژن: در مطالعه حاضر، نتایج به‌طور کلی نشان داد که بیان ژن‌های *lcy*، *psy* و *bkt2* در طی روزهای ۴ تا ۱۶ افزایشی است. بیان ژن *psy* در روز ۱۲ و ۱۶ در تیمارهای نور قرمز و ملاتونین و نور قرمز و گابا بیش‌ترین میزان مشاهده گردید. بیان ژن *lcy* نیز در روز ۱۲ و ۱۶ در تیمارهای نور قرمز و ملاتونین، نور قرمز و گابا، نور آبی و ملاتونین و نور آبی و گابا بیش‌ترین میزان بیان ژن مشاهده گردید. نتایج سنجش بیان ژن *bkt2* نیز نشان داد که در روز ۱۶م بیش‌ترین میزان افزایش بیان در تیمار و نور قرمز و گابا به‌دست آمد. فتوتروپین (*Phototropin (PHOT)*) یکی از گروه‌های پروتئین‌های فتورسپتور است که در گیاهان و برخی از جلبک‌ها یافت می‌شود و در واکنش به نور واکنش نشان می‌دهد. این پروتئین‌ها دارای ساختار دومین مشابهی هستند و وظیفه مهمی در واکنش‌های فیزیولوژیکی به نور دارند. فتوتروپین‌ها به‌ویژه در جواب به نور بلندمدت نقش دارند و در فرایندهایی نظیر تنظیم رشد گیاهان به‌وسیله نور (تغییر جهت رشد به سمت نور) که به‌عنوان تروپیسم فتوتروپیک شناخته می‌شود. در تنظیم کردن رشد گیاهان و تنظیم فتومورفوز (تغییرات ناشی از نور در رشد و توسعه) نقش دارند. فتوتروپین‌ها، مخصوصاً *PHOT1* و *PHOT2* که دو عضو مهم این خانواده هستند (۱۷). دارای دامنه کروموفور در ساختار خود هستند که به آن‌ها اجازه می‌دهد به نور با طیف وسیعی از امواج مختلف واکنش نشان دهند. این پروتئین‌ها با استفاده از فوتوکروم‌ها و کروموفورها، پاسخ‌های مختلفی به نور نشان می‌دهند و نقش مهمی در سیگنال‌دهی نوری و تنظیمات فیزیولوژیکی مرتبط با نور در گیاهان دارند (۲۱). هر دو نوع *PHOT* در گیاهان *Arabidopsis thaliana* و جلبک سبز *Mougeotia scalaris* نیز گزارش شده است (۲۲). فتوتروپین برای کنترل پیشرفت چرخه‌زندگی جنسی، تنظیم فتوسنتز و هم‌چنین تعدیل بیان ژن‌های مسیر بیوسنتز کاروتنوئید گزارش شده است (۲۳، ۲۴). فتوتروپین که سیگنال نور را حس می‌کند و سپس رونویسی ژن‌های بیوسنتز کاروتنوئید *psy* و *pds* در گیاهان را افزایش می‌دهد. *PSY* تبدیل *GGPP* به

و تکثیر مناسب سلول‌ها در محیط کشت را نشان داد. با افزایش تعداد سلول‌ها و تراکم آن‌ها در واحد حجم (میلی‌لیتر) تا ۲/۵ در تیمار شاهد افزایش میزان کلروفیل‌های A و B در محلول سلولی مشاهده شد، که می‌تواند به‌علت افزایش حجم کلروفیلی و هم‌چنین افزایش غلظت سلولی هر کدام از سلول‌ها باشد. در این تحقیق نور آبی و قرمز سبب افزایش کاروتنوئید کل، بتاکاروتن و آستاگزانتین گردید و هم‌چنین گابا تاثیر مثبت به همراه نور آبی و قرمز تاثیر زیادی بر میزان کلروفیل و متعاقباً کاروتنوئید کل، بتاکاروتن و آستاگزانتین گردید. در هماتوکوکوس پلوویالیس، آستاگزانتین عمدتاً با اسیدهای چرب استری شده است، بنابراین سه شکل از آستاگزانتین وجود دارد: آستاگزانتین آزاد، مونو استرهای آستاگزانتین و دی استرها. در این مطالعه به بررسی دی استر آستاگزانتین با آستاگزانتین کل پرداخته شد. تحلیل نتایج نشان داد که محتوای آستاگزانتین کل زیر ۱ میلی‌گرم در گرم در روز ۱۱م بود، سپس به‌ترتیب به ۶/۱ میلی‌گرم در گرم در زیر نور سفید، ۳/۸۸ میلی‌گرم در گرم در زیر نور آبی و ۴/۵۴ میلی‌گرم در گرم در نور قرمز در روز ۱۶م افزایش یافت. در تحقیق Gao و همکاران، میزان تولید آستاگزانتین در سلول‌های بالغ‌تر ۸/۳-۱۰/۶۹ میلی‌گرم در لیتر آستاگزانتین در مقایسه با ۸/۱-۰/۹۵ میلی‌گرم در لیتر در کشت‌های ۴ تا ۸ روزه گزارش شد. هم‌چنین در تحقیقی دیگر، محتوای آستاگزانتین هفت برابر (از ۰/۳۹۱ میلی‌گرم به ۲/۷۴ میلی‌گرم در لیتر) افزایش را نشان داد (۱۷). مسیر بیوسنتز آستاگزانتین در جلبک‌ها شامل یک‌سری واکنش‌های آنزیمی است که مولکول‌های پیش‌ماده را به آستاگزانتین تبدیل می‌کنند. آستاگزانتین یک پیگمانت کاروتنوئیدی است که از طریق مسیر ماولونات در جلبک‌ها سنتز می‌شود. بیوسنتز آستاگزانتین شامل تولید آستاگزانتین از طریق ترکیب پیش‌ماده‌های ایزوپرنوئید که در این مسیر بیوسنتز آستاگزانتین با تولید پیش‌ماده‌های ایزوپرنوئیدی آغاز می‌شود که به عنوان بلوک‌های سازنده اصلی در مسیر ماولونات عمل می‌کنند. این مسیر برای تولید واسطه‌های ایزوپرنوئیدی که به عنوان نقطه شروع برای بیوسنتز کاروتنوئیدها، شامل آستاگزانتین، استفاده می‌شوند، حیاتی است. پس از تولید پیش‌ماده‌های ایزوپرنوئیدی در مسیر ماولونات، این پیش‌ماده‌ها در بیوسنتز کاروتنوئید یا آستاگزانتین استفاده شوند. بیوسنتز آستاگزانتین شامل چندین مرحله آنزیمی است که شامل فعالیت آنزیم‌هایی نظیر فیتون سینتاز، دی‌ساتوراز فیتون، لیکوپن سیکلاز و بتاکاروتن هیدروکسیلاز است. این آنزیم‌ها واکنش‌های خاصی را فراهم می‌کنند تا به تبدیل واسطه‌ها و در نهایت تولید آستاگزانتین بپردازند (۱۸). در مورد بیوسنتز آستاگزانتین، اولین پیش‌ساز فیتون، است از تراکم سر به دم دو مولکول ژرانیل ژرانیل پیروفسفات به‌دست می‌آید. واکنش توسط فیتون سنتاز (*PSY*)

4. Nwoba, E.G., Parlevliet, D.A., Laird, D.W., Alameh, K. and Moheimani, N.R., 2019. Light management technologies for increasing algal photobioreactor efficiency. *Algal research*. 39: 101433. doi: 10.1016/j.algal.2019.101433
5. Ma, R., Thomas-Hall, S.R., Chua, E.T., Alsenani, F., Eltanahy, E., Netzel, M.E., Netzel, G., Lu, Y. and Schenk, P.M., 2018. Gene expression profiling of astaxanthin and fatty acid pathways in *Haematococcus pluvialis* in response to different LED lighting conditions. *Bioresource Technology*. 250: 591-602. doi: 10.1016/j.biortech.2017.11.094
6. Lababpour, A., Shimahara, K., Hada, K., Kyoui, Y., Katsuda, T. and Katoh, S., 2005. Fed-batch culture under illumination with blue light emitting diodes (LEDs) for astaxanthin production by *Haematococcus pluvialis*. *Journal of bioscience and bioengineering*. 100(3): 339-342. doi: 10.1263/jbb.100.339
7. Zhang, W., Wang, J., Wang, J. and Liu, T., 2014. Attached cultivation of *Haematococcus pluvialis* for astaxanthin production. *Bioresource technology*. 158: 329-335. doi: 10.1016/j.biortech.2014.02.044
8. Kang, C.D., Lee, J.S., Park, T.H. and Sim, S.J., 2005. Comparison of heterotrophic and photoautotrophic induction on astaxanthin production by *Haematococcus pluvialis*. *Applied Microbiology and Biotechnology*. 68: 237-241. doi: 10.1007/s00253-005-1889-2
9. Li, L., Chen, Z. and Huang, Q., 2020. Exogenous γ -aminobutyric acid promotes biomass and astaxanthin production in *Haematococcus pluvialis*. *Algal Research*. 52: 102089. doi: 10.1016/j.algal.2020.102089
10. Xing, H., Zhao, Y., Li, T., Han, B., Zhao, P. and Yu, X., 2022. Enhancing astaxanthin and lipid coproduction in *Haematococcus pluvialis* by the combined induction of plant growth regulators and multiple stresses. *Bioresource technology*. 344: 126225. doi: 10.1016/j.biortech.2021.126225
11. Zhao, Y., Wang, H.P., Yu, C., Ding, W., Han, B., Geng, S., Ning, D., Ma, T. and Yu, X., 2021. Integration of physiological and metabolomic profiles to elucidate the regulatory mechanisms underlying the stimulatory effect of melatonin on astaxanthin and lipids coproduction in *Haematococcus pluvialis* under inductive stress conditions. *Bioresource Technology*. 319: 124150. doi: 10.1016/j.biortech.2020.124150
12. Kakizono, T., Kobayashi, M. and Nagai, S., 1992. Effect of carbon/nitrogen ratio on encystment accompanied with astaxanthin formation in a green alga, *Haematococcus pluvialis*. *Journal of fermentation and bioengineering*. 74(6): 403-405. [https://doi.org/10.1016/0922-338X\(92\)90041-R](https://doi.org/10.1016/0922-338X(92)90041-R)
13. Nichols, H.W. and Bold, H.C., 1965. *Trichosarcina polymorpha* gen. et sp. nov. *Journal of phycology*. 1(1): 34-38. <https://doi.org/10.1111/j.1529-8817.1965.tb04552.x>
14. Sreesai, S. and Pakpain, P., 2007. Nutrient recycling by *Chlorella vulgaris* from septage effluent of the Bangkok city, Thailand. *ScienceAsia*. 33(3): 293. doi: 10.2306/scienceasia1513-1874.2007.33.293
15. Zozio, S., Pallet, D. and Dornier, M., 2011. Evaluation of anthocyanin stability during storage of a coloured drink made from extracts of the Andean blackberry (*Rubus glaucus* Benth.), açai (*Euterpe oleracea* Mart.) and black carrot (*Daucus carota* L.). *Fruits*. 66(3): 203-215. doi: 10.1051/fruits/2011030
- فیتوئن را کاتالیز می‌کند، که یک مرحله مهم در بیوسنتز کاروتنوئید است (۲۵). جالب اینجاست که بیان psy و pds به‌طور قابل‌توجهی تحت نور آبی از روز ۴ در مقایسه با نورهای سفید و قرمز تنظیم مثبت شد ($P > 0.05$) از این‌رو، نتایج ما از عملکرد فتوئین در بیوسنتز کاروتنوئید پشتیبانی می‌کند. از سوی دیگر، محتوای آستاگزانتین آزاد در روزهای انتهایی با توجه به داده‌های تحت تمام تیمارهای نور افزایش یافت که با ژن‌های بیوسنتز کاروتنوئید مشابه بود. در مطالعه Park و همکاران، محتوای آستاگزانتین آزاد تحت نور آبی افزایش یافت و به‌طور قابل‌توجهی ($P > 0.05$) بیش‌تر از نورهای سفید و قرمز بود (۲۶). این با تنظیم مثبت بیان PHOT، psy و pds مطابقت دارد. از سوی دیگر در این تحقیق، مونو استرهای آستاگزانتین، دی استرها و محتویات کل آستاگزانتین در زیر نور آبی روند افزایشی داشتند. در حالی‌که آستاگزانتین کل تحت نور آبی افزایش یافتند. بر اساس این یافته‌ها، نور آبی بیان ژن‌های بیوسنتز PHOT و میزان کاروتنوئیدها را افزایش می‌دهد (۲۷) اما در مطالعه ما نور قرمز به‌همراه گابا اثر افزایشی بیش‌تری بر ژن‌های مسیر سنتز کاروتنوئید داشته درحالی‌که کارتنوئیدهای کل را افزایش می‌دهد باعث افزایش میزان آستاگزانتین نیز می‌گردد و در نتیجه سطح بالایی از محتوای آستاگزانتین را در طول رشد در هماتوکوکوس پلوویالیس حفظ می‌کند.
- نتیجه‌گیری کلی:** نتایج نشان داد که نور آبی راندمان تقسیم و رشد سلولی را افزایش داد و نور قرمز میزان بیوسنتز و انباشت آستاگزانتین را افزایش داد. با استفاده از گابا در نور قرمز، انباشت آستاگزانتین مقدار قابل‌توجهی بالاتر از نورهای سفید و آبی بود؛ ولی سرعت رشد و تقسیم سلولی کم‌تری نیز داشت. نتایج بیان ژن نیز نشان داد که گابا در نور آبی و قرمز، ژن‌های psy و pds را به‌طور قابل‌توجهی القا و ژن bkt2 را نیز مثبت تنظیم می‌کنند. به‌طور کلی با استفاده از نور آبی و قرمز به‌همراه گابا می‌توان تولید آستاگزانتین را افزایش داد.

منابع

1. Ambati, R.R., Phang, S.M., Ravi, S. and Aswathanarayana, R.G., 2014. Astaxanthin: Sources, extraction, stability, biological activities and its commercial applications-A review. *Marine drugs*. 12(1): 128-152. doi: 10.3390/md12010128
2. Yuan, J.P., Peng, J., Yin, K. and Wang, J.H., 2011. Potential health-promoting effects of astaxanthin: a high-value carotenoid mostly from microalgae. *Molecular nutrition & food research*. 55(1): 150-165. doi: 10.1002/mnfr.201000414
3. Naguib, Y.M., 2000. Antioxidant activities of astaxanthin and related carotenoids. *Journal of agricultural and food chemistry*. 48(4): 1150-1154. doi: 10.1021/jf991106k

16. Pfaffl, M.W., 2001. A new mathematical model for relative quantification in real-time RT-PCR. *Nucleic Acids Res.* 29(9): e45. doi: 10.1093/nar/29.9.e45.
17. Gao, Z., Meng, C., Zhang, X., Xu, D., Zhao, Y., Wang, Y., Lv, H., Yang, L., Chen, L. and Ye, N., 2012. Differential expression of carotenogenic genes, associated changes on astaxanthin production and photosynthesis features induced by JA in *H. pluvialis*. *PLoS One.* 7(8): e42243. doi: 10.1371/journal.pone.0042243
18. Chen, H., Sloggy, M.R., Dhialhaq, A., Escobedo, F.J., Rasheed, A.R., Sánchez, J.J., Yang, W., Yu, F. and Meng, Z., 2023. Boundary of ecosystem services: Guiding future development and application of the ecosystem service concepts. *Journal of Environmental Managem.* 344: 118752. doi: 10.1016/j.jenvman.2023.118752
19. Huang, X., Jimmy, L. and Demner-Fushman, D., 2006. Evaluation of PICO as a Knowledge Representation for clinical questions. *AMIA annual symposium proceedings.* 359-363. PMID: PMC1839740
20. Sandmann, G., 1994. Carotenoid biosynthesis in microorganisms and plants. *Eur J. Biochem.* 223(1): 7-24. doi: 10.1111/j.1432-1033.1994.tb18961.x
21. Kaiserli, E., Sullivan, S., Jones, M.A., Feeney, K.A. and Christie, J.M., 2009. Domain swapping to assess the mechanistic basis of Arabidopsis phototropin 1 receptor kinase activation and endocytosis by blue light. *The Plant Cell.* 21(10): 3226-3244. doi: 10.1105/tpc.109.067876
22. Kianianmomeni, A., 2014. More light behind gene expression. *Trends Plant Sci.* 19(8): 488-490. doi: 10.1016/j.tplants.2014.05.004
23. Garcia-Vaquero, M., Brunton, N. and Lafarga, T., 2021. Microalgae as a source of pigments for food applications. In *Cultured Microalgae for the Food Industry.* 177-198. Academic Press. doi: 10.1016/B978-0-12-821080-2.00014-9
24. Hata, N., Ogbonna, J.C., Hasegawa, Y., Taroda, H. and Tanaka, H., 2001. Production of astaxanthin by *Haematococcus pluvialis* in a sequential heterotrophic photoautotrophic culture. *Journal of Applied Phycology.* 13: 395-402. doi: 10.1023/A:1011921329568
25. Moya, M.J., Sánchez-Guardamino, M.L., Vilavella, A. and Barbera, E., 1997. Growth of *Haematococcus lacustris*: A contribution to kinetic modelling. *Journal of Chemical Technology & Biotechnology (International Research in Process, Environmental AND Clean Technology).* 68(3): 303-309.
26. Park, J.C., Choi, S.P., Hong, M.E. and Sim, S.J., 2014. Enhanced astaxanthin production from microalga, *Haematococcus pluvialis* by two-stage perfusion culture with stepwise light irradiation. *Bioprocess and biosystems engineering.* 37: 2039-2047. doi: 10.1007/s00449-014-1180-y
27. Shahidi, F. and Brown, J.A., 1998. Carotenoid pigments in seafoods and aquaculture. *Critical Reviews in Food Science.* 38(1): 1-67. doi: 10.1080/10408699891274165